

# Automazione I

13 Febbraio 2014

## Esercizio 1

Si consideri un sistema di automazione industriale in cui, a livello di coordinamento, è necessario portare a termine i seguenti task periodici:

1. ogni 4 time units (t.u.) una lamiera viene portata in zona saldatura impiegando 1 t.u.;
2. ogni 16 t.u. le lamiere vengono saldate impiegando 3 t.u.;
3. ogni 8 t.u. le lamiere saldate vengono portate via dalla zona saldatura in 1 t.u.

A questi tre task se ne aggiunge un quarto di pulitura degli elettrodi di saldatura, operazione che deve intervenire con un intervallo minimo di 32 t.u. e durare al massimo 8 t.u. Per semplicità, si ipotizzi che i task periodici siano indipendenti l'uno dall'altro. Tutti i task fin qui descritti devono essere gestiti con una modalità di scheduling hard real time. Il sistema di automazione viene supervisionato da un tecnico il quale, attraverso un'interfaccia uomo-macchina costituita da un touch screen, può visualizzare una schermata di stato del sistema. In particolare, la prima occorrenza di tale task aperiodico è attivata all'istante  $a_5(1) = 20$  t.u., ha un computation time pari a  $C_5(1) = 6$  t.u. e una deadline assoluta pari a  $D_5(1) = 32$  t.u. Questo task deve essere servito con una modalità di scheduling soft real time. Si chiede di rispondere ai seguenti punti:

- verificare se il problema di scheduling hard real time non sia inammissibile;
- nel caso in cui il sistema non sia inammissibile, verificare se sussista una condizione sufficiente per l'ammissibilità del problema con RMPO;
- mostrare il risultato dello scheduling usando RMPO come algoritmo di task scheduling hard real time e un servizio in background con scheduling di tipo FIFO per i task soft real time;
- determinare se il task soft real time venga eseguito in questo modo entro la deadline assoluta.

## Esercizio 2

Rispondere a ciascuna domanda con un breve testo accompagnato da figure o formule:

1. I nodi di una rete sono connessi ad un bus di comunicazione il cui arbitraggio di accesso è gestito con il protocollo CSMA-CR (*Wired AND*, con valore logico 0 come bit dominante). Tre nodi vogliono trasmettere contemporaneamente sulla rete e i relativi messaggi hanno le seguenti codifiche di priorità:

$$Id_1 = 010011001, \quad Id_2 = 010101001, \quad Id_3 = 010011011.$$

Tracciare il diagramma temporale della contesa del bus indicando quale nodo avrà l'accesso per trasmettere.

2. Per un processo a tempo continuo contenente un ritardo finito, è stato rilevato sperimentalmente in uscita l'andamento di Fig. 1, in risposta a un comando a gradino unitario applicato all'istante  $t = 1$  sec. Desiderando errore nullo a regime permanente e un buon transitorio, si forniscano i valori dei guadagni di un regolatore PI utilizzando il primo metodo di Ziegler-Nichols (indicare esplicitamente la forma della legge di controllo PI a cui si fa riferimento). In questo caso, sarebbe sufficiente operare con un semplice regolatore di tipo P?

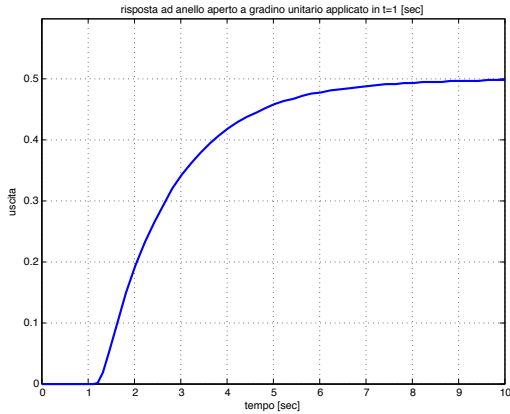


Figura 1: Risposta a gradino unitario di un processo con ritardo

### Esercizio 3

In Figura 2 si riporta la rete di Petri relativa ad un’operazione di *pick-and-place* di singoli oggetti tra due stazioni di lavoro, eseguita in modo coordinato da due robot che si scambiano l’oggetto in un punto di incontro (vedi Esercizio #3 nel compito scritto del 16 Gennaio 2014).

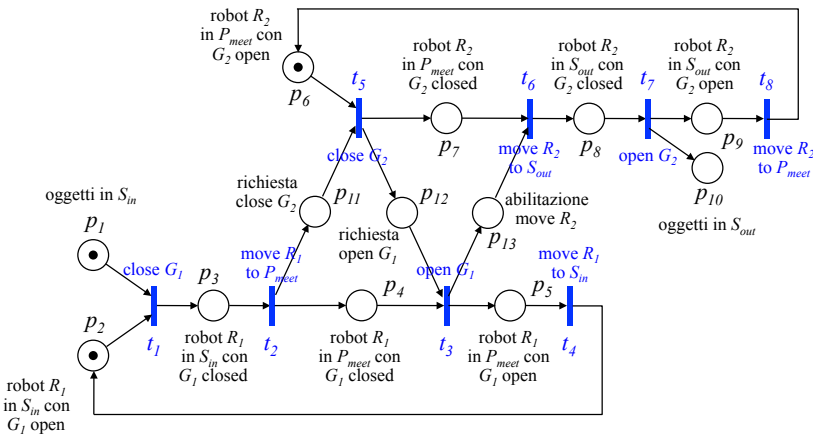


Figura 2: Rete di Petri relativa ad un’operazione di *pick-and-place* coordinata con due robot

- A partire dalla matrice di incidenza  $C$  della rete, si determini la struttura di tutti i  $T$ -invarianti e di tutti i  $P$ -invarianti (in entrambi i casi, aventi solo elementi interi). Si fornisca un’interpretazione dei  $P$ -invarianti trovati, in termini delle proprietà di conservatività (eventualmente di sottoparti della rete) e di limitatezza.
- Assumendo che siano sempre presenti oggetti nella stazione di ingresso e che non si voglia modellizzare il conteggio degli oggetti depositati nella stazione di uscita, è possibile eliminare i posti  $p_1$  e  $p_{10}$  con i relativi archi (entrante in  $t_1$  e uscente da  $t_7$ ). Per la rete di Petri così ottenuta, come si modifica l’analisi delle proprietà del punto precedente? In particolare, verificare se la marcatura iniziale con un token presente solo nei posti  $p_2$  e  $p_6$  sia reversibile o meno, motivando la risposta.

[180 minuti; libri aperti]

# Soluzioni

13 Febbraio 2014

## Esercizio 1

La verifica di non inammissibilità si effettua calcolando il fattore di utilizzazione dei task periodici hard real time:

$$U = \frac{1}{4} + \frac{3}{16} + \frac{1}{8} + \frac{8}{32} = \frac{26}{32} = 0.8125 < 1.$$

Essendo verificata la condizione necessaria, controlliamo se sussista almeno una condizione sufficiente. Ad esempio, calcoliamo

$$U_{lsm} = n \left( 2^{1/n} - 1 \right) = 4 \left( 2^{1/4} - 1 \right) \simeq 0.7568.$$

Dato che  $U > U_{lsm}$ , questa condizione sufficiente non è verificata. Si può però notare che i quattro task sono legati tra loro da relazioni armoniche e che questa costituisce un'altra condizione sufficiente per la risolubilità del problema posto. La soluzione dello scheduling RMPO con servizio in background FIFO è illustrata in Fig. 3. Da questa si evince che il task soft real time può essere portato a termine entro la deadline assoluta.

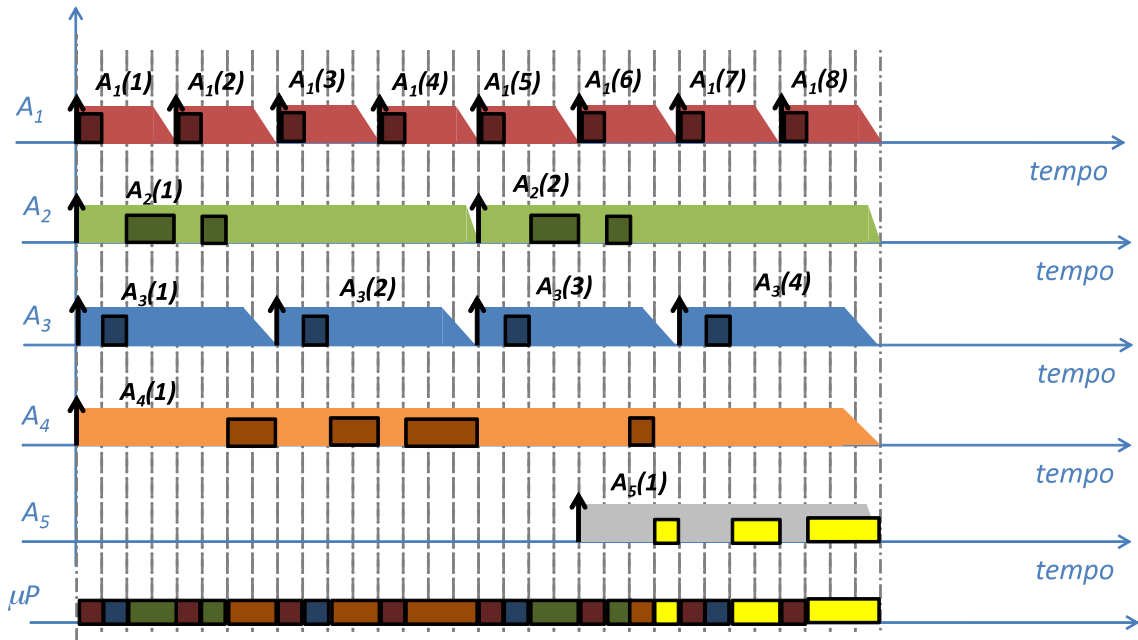


Figura 3: Scheduling RMPO con servizio in background FIFO

## Esercizio 2

*Domanda 1.* L'accesso al bus di comunicazione verrà assegnato al nodo 1, come si evince dal diagramma temporale della contesa in Fig. 4.

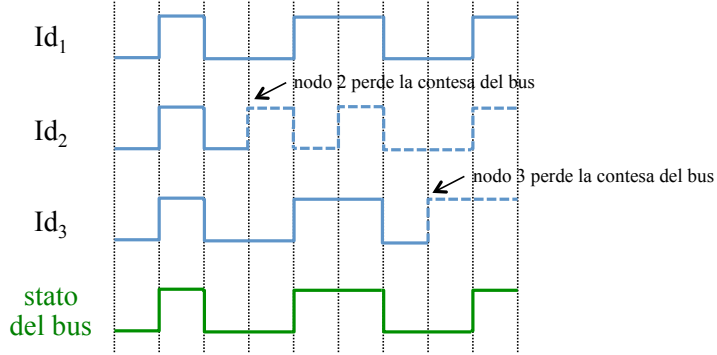


Figura 4: Diagramma temporale della contesa gestita con protocollo CSMA-CR (*Wired AND*)

*Domanda 2.* Sulla risposta a gradino del processo (vedi Fig. 5) si possono rilevare graficamente i seguenti valori, tracciando la tangente alla risposta nel punto di massima salita, che si trova vicino alla base della curva (in questa zona è presente anche un flesso, quasi impercettibile):

$\theta \simeq 0.2$  [s] ritardo tra applicazione del gradino e intercetta della tangente con l'asse temporale;

$\tau \simeq 1.8$  [s] tempo tra intercette della tangente con l'asse temporale e con il valore di regime;

$K = 0.5$  guadagno statico (a regime).

Il processo è quindi approssimato dalla funzione di trasferimento

$$P(s) = K \frac{e^{-\theta s}}{1 + \tau s} = 0.5 \frac{e^{-0.2 s}}{1 + 1.8 s}. \quad (1)$$

Per un regolatore PI della forma

$$u(t) = K_p \left( e(t) + \frac{1}{T_i} \int_0^t e(\sigma) d\sigma \right), \quad e(t) = y_d(t) - y(t),$$

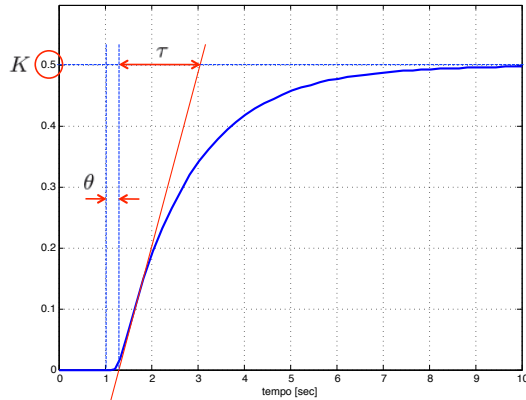


Figura 5: Rilevazione grafica dei parametri necessari per la sintonizzazione dei guadagni del regolatore secondo il metodo di Ziegler-Nichols

il primo metodo di sintonizzazione di Ziegler-Nichols prescrive dei valori<sup>1</sup>

$$K_p = \frac{0.9}{K} \frac{\tau}{\theta} = 16.2, \quad T_i = 3.33 \theta = 0.666, \quad K_i = \frac{K_p}{T_i} = 24.3243, \quad (2)$$

dove  $K_i$  è l'effettivo guadagno del termine integrale. Poiché si vuole garantire con certezza errore nullo a regime nella risposta al gradino, il regolatore deve includere necessariamente un'azione integrale. Utilizzando i valori (2) nel regolatore PI, le prestazioni del sistema controllato risultano però ancora insoddisfacenti, in quanto la risposta è fortemente oscillatoria (il metodo di sintonizzazione si basa sul modello (1), ma evidentemente il processo originario non è ben approssimato da tale equazione). Non volendo introdurre un'azione derivativa, è prassi in tali casi dimezzare il guadagno proporzionale. La risposta del sistema ad anello chiuso e il relativo sforzo di controllo (uscita del regolatore) con i valori  $K_p = 8.1$  e  $K_i = K_p/T_i = 12.1622$  sono mostrati in Fig. 6.

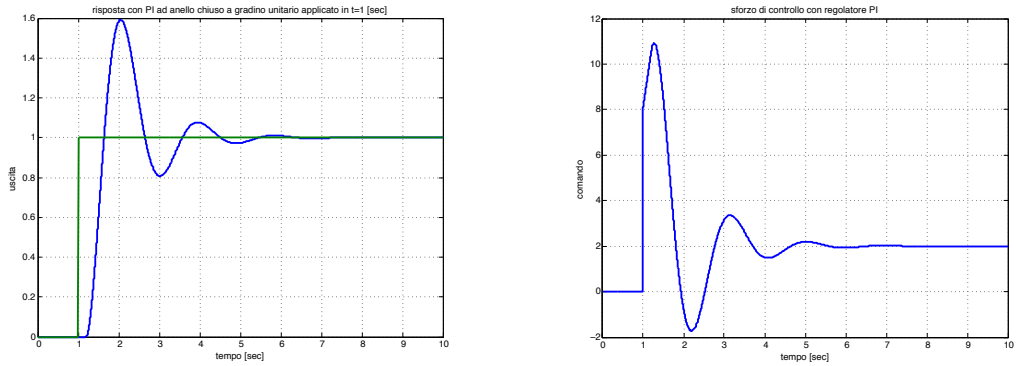


Figura 6: Risposta del sistema ad anello chiuso con il regolatore PI finale: uscita controllata (a sinistra) e sforzo di controllo (a destra)

### Esercizio 3

La matrice di incidenza  $C$ , di dimensioni  $(13 \times 8)$ , della rete di Petri in Fig. 2 è la seguente:

$$C = \begin{pmatrix} -1 & 0 & 0 & 0 & 0 & 0 & 0 & 0 \\ -1 & 0 & 0 & 1 & 0 & 0 & 0 & 0 \\ 1 & -1 & 0 & 0 & 0 & 0 & 0 & 0 \\ 0 & 1 & -1 & 0 & 0 & 0 & 0 & 0 \\ 0 & 0 & 1 & -1 & 0 & 0 & 0 & 0 \\ 0 & 0 & 0 & 0 & -1 & 0 & 0 & 1 \\ 0 & 0 & 0 & 0 & 1 & -1 & 0 & 0 \\ 0 & 0 & 0 & 0 & 0 & 1 & -1 & 0 \\ 0 & 0 & 0 & 0 & 0 & 0 & 1 & -1 \\ 0 & 0 & 0 & 0 & 0 & 0 & 1 & 0 \\ 0 & 1 & 0 & 0 & -1 & 0 & 0 & 0 \\ 0 & 0 & -1 & 0 & 1 & 0 & 0 & 0 \\ 0 & 0 & 1 & 0 & 0 & -1 & 0 & 0 \end{pmatrix}. \quad (3)$$

<sup>1</sup>Non essendo specificato se il controllore sia implementato in modo analogico o digitale (con passo di campionamento  $T_c$ ), si può porre  $\theta' = \theta$  nella prima colonna della Tab. 4.2 nel libro di testo. Utilizzando un controllore PI digitale, si sarebbe posto invece  $\theta' = \theta + (T_c/2)$ , con  $T_c$  sufficientemente piccolo (al limite trascurabile, come nella soluzione presentata) in modo da poter catturare nei campioni dell'uscita l'effetto del ritardo  $\theta$ .

E' semplice verificare (ad esempio con la funzione `rank` in Matlab) che la matrice  $\mathbf{C}$  ha rango massimo (pari a 8, il numero delle sue colonne) e che quindi l'equazione che definisce i  $T$ -invarianti

$$\mathbf{C}\boldsymbol{\eta} = \mathbf{0}$$

non ha altra soluzione al di fuori di quella banale ( $\boldsymbol{\eta} = \mathbf{0}$ ). Ne segue che tutte le marcature iniziali risultano essere *non reversibili*: in altri termini, non esistono sequenze di scatti (non vuote) che possano replicare almeno una marcatura iniziale.

Viceversa, a partire dall'equazione che definisce i  $P$ -invarianti

$$\mathbf{C}^T\boldsymbol{\gamma} = \mathbf{0}, \quad (4)$$

la dimensione dello spazio nullo della matrice  $\mathbf{C}^T$  è pari a 5 (= # colonne di  $\mathbf{C}^T$  – rango di  $\mathbf{C}^T$ ). Occorre e basta quindi trovare cinque  $P$ -invarianti (con elementi nel dominio  $\mathbb{Z}$  degli interi) che siano linearmente indipendenti per avere una base con la quale esprimere tutto l'insieme di interesse<sup>2</sup>.

Dall'analisi dell'evoluzione della rete, è semplice notare che un primo  $P$ -invariante (in forma canonica) è dato da

$$\boldsymbol{\gamma}_0^T = (1 \ 1 \ 2 \ 1 \ 1 \ 1 \ 1 \ 2 \ 1 \ 1 \ 1 \ 1),$$

che verifica ovviamente la (4). Tale vettore è stato individuato raddoppiando i pesi di quei posti che si trovano da soli in uscita ad una transizione che preleva allo scatto due token in ingresso (ossia  $p_3$  e  $p_8$ ). Poiché il vettore  $\boldsymbol{\gamma}_0$  è non negativo e il suo supporto è l'intero insieme dei posti  $\mathcal{P}$ , ne segue che la rete è *conservativa e limitata*.

Gli altri  $P$ -invarianti si determinano individuando sottoinsiemi di posti dove il numero totale di token si conserva e ai quali si può facilmente associare un significato fisico. Per il *ciclo operativo del robot  $R_1$*  si ha

$$\boldsymbol{\gamma}_1^T = (0 \ 1 \ 1 \ 1 \ 1 \ 0 \ 0 \ 0 \ 0 \ 0 \ 0 \ 0),$$

che rappresenta il fatto che il token-risorsa robot  $R_1$  si propaga e si conserva sempre all'interno del ciclo di posti  $\{p_2, p_3, p_4, p_5\}$  (in basso nella rete di Fig. 2). In modo analogo, per il *ciclo operativo del robot  $R_2$*  si ha

$$\boldsymbol{\gamma}_2^T = (0 \ 0 \ 0 \ 0 \ 0 \ 1 \ 1 \ 1 \ 1 \ 0 \ 0 \ 0 \ 0),$$

con il token-risorsa robot  $R_2$  che si propaga e si conserva nel ciclo di posti  $\{p_6, p_7, p_8, p_9\}$ . Un altro  $P$ -invariante è legato alla conservazione di un token nel ciclo di posti  $\{p_2, p_3, p_{11}, p_{12}, p_5\}$

$$\boldsymbol{\gamma}_3^T = (0 \ 1 \ 1 \ 0 \ 1 \ 0 \ 0 \ 0 \ 0 \ 0 \ 1 \ 1 \ 0),$$

che può interpretarsi come relativo all'attività di *sincronizzazione del robot  $R_1$*  (con il robot  $R_2$ ). In modo speculare, la conservazione di un token nel ciclo di posti  $\{p_6, p_{12}, p_{13}, p_8, p_9\}$

$$\boldsymbol{\gamma}_4^T = (0 \ 0 \ 0 \ 0 \ 0 \ 1 \ 0 \ 1 \ 1 \ 0 \ 0 \ 1 \ 1)$$

<sup>2</sup>Ai fini dell'analisi che segue, l'istruzione `null` di Matlab, che fornisce una base per lo spazio nullo di una generica matrice, non è immediatamente utilizzabile. Nel caso presente, i cinque vettori forniti dalla `null(C')` (in notazione Matlab,  $\mathbf{C}' = \mathbf{C}^T$ ) presentano infatti componenti non intere e di segno misto (positivo o negativo), risultando di scarsa utilità (anche se, ovviamente, ciascuno dei vettori  $\boldsymbol{\gamma}_i \in \mathbb{Z}$ ,  $i = 0, 1, \dots, 4$ , è esprimibile come combinazione lineare, con coefficienti in  $\mathbb{R}$ , della base di vettori fornita dalla `null(C')`; i coefficienti di tali combinazioni lineari si trovano dalla `X=linsolve(null(C'),Gamma)`, con  $\mathbf{Gamma} = \boldsymbol{\Gamma}$ ). Questo tipo di situazione è piuttosto generale, in quanto le basi dei sottospazi calcolate da Matlab sono il risultato di una procedura numerica di ortogonalizzazione e normalizzazione. In altri termini, non viene sfruttato il fatto che la matrice di incidenza abbia sempre e solo elementi in  $\mathbb{Z}$  (interi, con segno).

rappresenta l'attività di *sincronizzazione del robot  $R_2$*  (con il robot  $R_1$ ).

Si noti che i quattro  $P$ -invarianti  $\gamma_1, \dots, \gamma_4$  sono tutti non negativi, canonici e a supporto *minimo*. I cinque  $P$ -invarianti così trovati sono effettivamente tutti linearmente indipendenti. E' infatti facile verificare (ancora con la `rank` di Matlab) che

$$\boldsymbol{\Gamma} = (\gamma_0 \ \ \gamma_1 \ \ \gamma_2 \ \ \gamma_3 \ \ \gamma_4) \quad \Rightarrow \quad \text{rango } \boldsymbol{\Gamma} = 5.$$

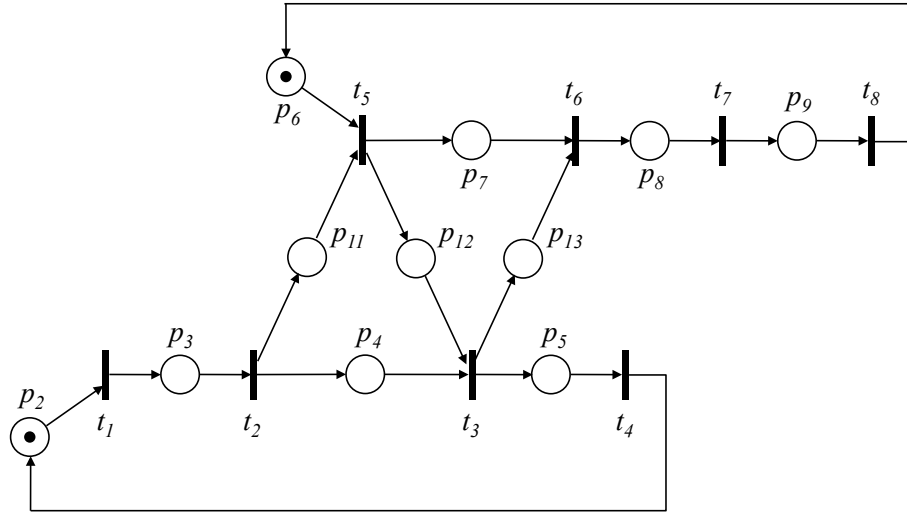


Figura 7: Rete di Petri modificata eliminando un posto in ingresso ( $p_1$ ) e uno in uscita ( $p_{10}$ )

Nella seconda parte dell'esercizio, si eliminano dalla rete di Petri originaria i posti  $p_1$  (con il relativo token iniziale) e  $p_{10}$ . Per chiarezza la rete così modificata è mostrata in Fig. 7. La relativa matrice di incidenza  $\mathbf{C}_m$ , di dimensioni  $(11 \times 8)$ , si ottiene cancellando le due righe corrispondenti dalla matrice  $\mathbf{C}$  in (3):

$$\mathbf{C}_m = \left( \begin{array}{cccccccc} -1 & 0 & 0 & 1 & 0 & 0 & 0 & 0 \\ 1 & -1 & 0 & 0 & 0 & 0 & 0 & 0 \\ 0 & 1 & -1 & 0 & 0 & 0 & 0 & 0 \\ 0 & 0 & 1 & -1 & 0 & 0 & 0 & 0 \\ 0 & 0 & 0 & 0 & -1 & 0 & 0 & 1 \\ 0 & 0 & 0 & 0 & 1 & -1 & 0 & 0 \\ 0 & 0 & 0 & 0 & 0 & 1 & -1 & 0 \\ 0 & 0 & 0 & 0 & 0 & 0 & 1 & -1 \\ 0 & 1 & 0 & 0 & -1 & 0 & 0 & 0 \\ 0 & 0 & -1 & 0 & 1 & 0 & 0 & 0 \\ 0 & 0 & 1 & 0 & 0 & -1 & 0 & 0 \end{array} \right). \quad (5)$$

E' immediato verificare che la nuova matrice di incidenza  $\mathbf{C}_m$  ha rango pari a 7, inferiore di un'unità rispetto al numero delle sue colonne. L'equazione che definisce i  $T$ -invarianti

$$\mathbf{C}_m \boldsymbol{\eta}_m = \mathbf{0}$$

ha pertanto un'infinità (semplice) di soluzioni nella forma  $\boldsymbol{\eta}_m = \alpha \boldsymbol{\eta}_0$ , dove

$$\boldsymbol{\eta}_0^T = (1 \ 1 \ 1 \ 1 \ 1 \ 1 \ 1 \ 1) \quad (6)$$

e  $\alpha \in \mathbb{R}$  (nell'analisi delle proprietà strutturali della rete interessano solo le soluzioni con  $\alpha \in \mathbb{N}$ ). Il  $T$ -invariante canonico in (6) corrisponde ad uno e un solo scatto per ciascuna transizione. Tale vettore delle occorrenze è effettivamente associato ad una sequenza di scatti  $\mathcal{S}$  ammissibile a partire dalla marcatura iniziale (mostrata in Fig. 7)

$$\begin{aligned}\mathbf{x}_0^T &= (x(p_2) \ x(p_3) \ x(p_4) \ x(p_5) \ x(p_6) \ x(p_7) \ x(p_8) \ x(p_9) \ x(p_{11}) \ x(p_{12}) \ x(p_{13})) \\ &= (1 \ 0 \ 0 \ 0 \ 1 \ 0 \ 0 \ 0 \ 0 \ 0 \ 0).\end{aligned}$$

Pertanto la marcatura iniziale  $\mathbf{x}_0$  della rete di Petri modificata è *reversibile*.

Dall'equazione che definisce i  $P$ -invarianti

$$\mathbf{C}_m^T \boldsymbol{\gamma}_m = \mathbf{0}, \quad (7)$$

la dimensione dello spazio nullo della matrice  $\mathbf{C}_m^T$  è ora pari a 4 ( $= \#$  colonne di  $\mathbf{C}_m^T$  - rango di  $\mathbf{C}_m^T$ ). E' facile riconoscere che quattro nuovi  $P$ -invarianti che siano linearmente indipendenti si ottengono direttamente da quattro dei precedenti cinque  $P$ -invarianti della rete completa (escludendo  $\gamma_0$ ), eliminando da essi gli elementi corrispondenti ai due posti rimossi (in posizione 1 e 10):

$$\begin{aligned}\boldsymbol{\gamma}_{m,1}^T &= (1 \ 1 \ 1 \ 1 \ 0 \ 0 \ 0 \ 0 \ 0 \ 0 \ 0) \\ \boldsymbol{\gamma}_{m,2}^T &= (0 \ 0 \ 0 \ 0 \ 1 \ 1 \ 1 \ 1 \ 0 \ 0 \ 0) \\ \boldsymbol{\gamma}_{m,3}^T &= (1 \ 1 \ 0 \ 1 \ 0 \ 0 \ 0 \ 0 \ 1 \ 1 \ 0) \\ \boldsymbol{\gamma}_{m,4}^T &= (0 \ 0 \ 0 \ 0 \ 1 \ 0 \ 1 \ 1 \ 0 \ 1 \ 1).\end{aligned}$$

E' immediato verificare (ancora con la `rank` di Matlab) che

$$\boldsymbol{\Gamma}_m = (\boldsymbol{\gamma}_{m,1} \ \boldsymbol{\gamma}_{m,2} \ \boldsymbol{\gamma}_{m,3} \ \boldsymbol{\gamma}_{m,4}) \quad \Rightarrow \quad \text{rango } \boldsymbol{\Gamma}_m = 4.$$

Il significato fisico di tali  $P$ -invarianti è analogo al caso precedente, con sottoinsiemi ciclici di posti dove il numero totale di token si conserva. I quattro  $P$ -invarianti  $\boldsymbol{\gamma}_{m,1}, \dots, \boldsymbol{\gamma}_{m,4}$  sono tutti non negativi, canonici e a supporto *minimo*. Inoltre l'unione dei loro supporti ricopre l'intero insieme dei posti  $\mathcal{P}_m$  della rete modificata. Quindi anche tale rete è *conservativa* e *limitata*.

\* \* \* \* \*